

ساخت کاتالیست سه فلزی $Pt-Re-Sn/\gamma-Al_2O_3$ به منظور بهینه سازی واکنش

ایزو مریزاسیون در فرآیند تبدیل کاتالیستی

اسماعیل زنجیری^۱، مصطفی فضلی^{۱*}، سید رضا سیف محدثی^۲، محمد تیموری^۲ و معصومه آقابابایی^۲

^۱ سمنان، دانشگاه سمنان، دانشکده شیمی

^۲ تهران، دهکده المپیک، رویرویی صلح غربی استاد بیوم آزادی، پژوهشگاه صنعت نفت ایران، پردیس پژوهش و توسعه صنایع پایین دستی نفت

تاریخ پذیرش: ۹۲/۰۲/۲۱

تاریخ تصحیح: ۹۲/۰۲/۵

تاریخ دریافت: ۹۱/۱۲/۲۳

چکیده:

با توجه به لزوم مصرف بنزین با استاندارد بورو ۵ و اهمیت محصولات ایزو پارافینی نسبت به آروماتیکی در آن، استفاده از کاتالیست مناسب در فرآیند تبدیل کاتالیستی از اهمیت ویژه‌ای برخوردار است. با اضافه نمودن فلز قلع به کاتالیست‌های دو فلزی رایج در این فرآیند ($Pt-Re/\gamma-Al_2O_3$) می‌توان مرحله پیش‌گوگرد زنی کاتالیست را که در آن احتمال مسمومیت کاتالیست وجود دارد حذف کرده و ضمناً با افزایش جمعیت نسبی سایت‌های اسیدی متوسط، میزان ایزو پارافین‌ها را در محصول افزایش داد. در این پژوهه، کاتالیست سه فلزی $Pt-Re-Sn/\gamma-Al_2O_3$ با استفاده از روش تلقیح مرطوب تهیه و تحت شرایط عملیاتی مطابق با پالایشگاه‌های ایران، در رآکتور دیفرانسیلی واحد پایلوت پژوهشکده کاتالیست و نانوفناوری پژوهشگاه صنعت نفت مورد آزمایش تعیین فعالیت با خوارک صنعتی (HSRG) قرار گرفت. مقدار فلزات پلاتین و رزین موجود در کاتالیست‌های تهیه شده ثابت بوده و به ترتیب برابر با ۰/۰۴۴ و ۰/۰۴۰ درصد وزنی و مقدار فلز قلع از ۰/۰۶۰ تا ۰/۰۳۰ درصد وزنی می‌باشد. پس از آنالیز محصول مایع خروجی از رآکتور، گزینش پذیری واکنش تولید ایزو پارافین نسبت به واکنش تولید آروماتیک برای این کاتالیست‌ها مقایسه شد. نتایج نشان می‌دهد گزینش پذیری تولید ایزو پارافین‌ها نسبت به تولید آروماتیک‌ها در دمای ۴۹۰ درجه سانتی گراد برای بهترین کاتالیست ساخته شده (۰/۰۳۰ درصد وزنی قلع) و کاتالیست تجاری به ترتیب ۳۹/۵ و ۲۹/۷ درصد و در دمای ۵۱۰ درجه سانتی گراد به ترتیب ۴/۴ و ۱۱/۳ درصد می‌باشد. بنابراین کاتالیست با ۰/۰۳۰ درصد وزنی قلع در دمای ۴۹۰ درجه سانتی گراد در مقایسه با کاتالیست تجاری و سایر کاتالیست‌های ساخته شده از نظر گزینش پذیری نسبت به ایزو پارافین‌ها دارای عملکرد بهتری می‌باشد.

واژگان کلیدی: کاتالیست سه فلزی، تبدیل کاتالیستی، گزینش پذیری، ایزو پارافین، آروماتیک

۱- مقدمه:

فرایند تبدیل کاتالیستی فرآیندی مهم در هر پالایشگاهی می‌باشد که در آن نفتای با عدد اکتان پایین به بنزین با عدد اکتان بالا تبدیل می‌شود. هدف از این فرایند علاوه بر تولید هیدروژن بازاری هیدروکربن‌های با زنجیره‌های طولانی کربن طی واکنش‌های دهیدروژناسیون، ایزو مریزاسیون، دهیدروسیکلیزاسیون، هیدروژنولیز و هیدروکراکینگ و تولید ترکیباتی با عدد اکتان بالا مانند آروماتیک‌ها و ایزو پارافین‌ها می‌باشد [۱-۳]. اولین کاتالیست مورد استفاده در این فرایند از نوع مولیبدن بر پایه آلومینا بود. این کاتالیست به سرعت کک گرفته و نیاز به احیا کردن در فواصل زمانی کوتاه داشت لذا در سال ۱۹۴۹ کاتالیست دو عاملی اسیدی-فلزی Pt/Al_2O_3-Cl معرفی شد که در این کاتالیست عامل اسیدی کاتالیست (پایه) شامل گاما آلومینای کلره شده و عامل فلزی شامل فلزات بی‌اثری همچون پلاتین بود [۴]. عامل فلزی باعث پیشرفت واکنش

هیدروژناسیون-دهیدروژناسیون و عامل اسیدی عامل پیشرفت واکنش ایزومریزاسیون می باشد. ضمناً حضور هر دو عامل برای انجام واکنشی مانند دهیدروسیکلیزاسیون لازم و ضروری است. علاوه بر واکنش‌های مطلوب در این فرآیند، واکنش‌های نامطلوبی مانند هیدروکراکینگ و هیدروژنولیز که با تشکیل کک سایت‌های فعال را غیرفعال کرده و باعث کاهش بازدهی محصولات مطلوب می‌گردند، اتفاق می‌افتد. به دلیل اینکه کاتالیست‌های رایج فرایند تبدیل کاتالیستی از فلزات گران بهایی مانند پلاتین تشکیل شده‌اند لذا می‌بایست فعالیت، گزینش پذیری و طول عمر کاتالیست‌ها بالا باشد[۵]. برای ساخت کاتالیست‌های فرایند تبدیل کاتالیستی می‌بایست مقدار معینی از فلز را به طور یکنواخت روی پایه نشاند به گونه‌ای که سطح تماس بین عنصر فعال (فلز) کاتالیست و مواد واکنش دهنده به ماکریزم مقدار خود برسد. معمولاً برای نشاندن فلز بر روی پایه، از نمکی که حاوی آن فلز است استفاده می‌شود. ساخت کاتالیست شامل دو مرحله می‌باشد: ۱) انتقال نمک فلز بر روی پایه ۲) تبدیل نمک فلز نشسته شده بر روی پایه به حالت فعال فلزی و یا اکسید فلزی.

مرحله اول را می‌توان بوسیله روش‌هایی از قبیل تلقیح مرطوب^۱، تلقیح خشک^۲، جذب از محلول و رسوب همزمان^۳ یا پوشش‌دهی^۴ انجام داد و مرحله دوم شامل عملیات کلسیناسیون^۵ و احیاء^۶ می‌باشد.

بررسی‌های انجام داده شده نشان می‌دهد که اضافه کردن فلزات دوم مانند رنیوم، قلع و ژرمانیم در نقش ارتقا دهنده می‌تواند در بهبود ویژگی‌های کاتالیستی پلاتین و افزایش کارایی کاتالیست (فعالیت، گزینش پذیری و پایداری) موثر باشد[۶]. ضمناً کاتالیست‌های دو فلزی از نظر گزینش پذیری نسبت به آروماتیکها و ایزوپارافین‌ها بهتر عمل کرده و در مقابل غیرفعالسازی توسط کک مقاوم‌تر می‌باشند. اضافه کردن فلز دو مسبب اصلاح در هر دو عامل اسیدی و فلزی می‌شود که اصلاح در عامل اسیدی بستگی به طبیعت فلز اضافه شده دارد[۷]. بررسی‌های mazzieri و همکارانش نشان داد که در مرحله احیای کاتالیست Pt-Re/Al₂O₃-Cl، سهم بیشتر رنیوم به حالت فلزی کاهش یافته و کسر کوچکی از آن در حالت اکسیدی باقی می‌ماند[۷]. رنیوم فلزی با پلاتین برهمکنش کرده و عامل فلزی را ارتقا می‌دهد در حالی که سهمی از آن به شکل اکسیدی باقی مانده و می‌تواند با پایه آلومینا برهمکنش کرده و بر روی گروه عاملی اسیدی اثرگذار باشد[۴]. mazzieri و همکارانش با بررسی نتایج TPD حاصل از کاتالیست‌های دو فلزی $\text{Pt-(Sn or Ge or Re)}/\gamma\text{-Al}_2\text{O}_3$ پی برند که فلزات رنیوم و ژرمانیم در این کاتالیست‌ها بدون اثرگذاری بر روی اسیدیته کل، توزیع مکان‌های اسیدی را به سمت مکان‌های اسیدی ضعیف جابجا می‌کنند. این درحالیست که فلز قلع علاوه بر جابجاگی توزیع مکان‌های اسیدی به سمت مکان‌های اسیدی متوسط و ضعیف، اسیدیته کل را هم کاهش می‌دهد[۷]. مکان‌های اسیدی متوسط واکنش ایزومریزاسیون و مکان‌های

¹Wet Impregnation²Dry Impregnation³Co Precipitation⁴Coating⁵Calcination⁶Reduction

اسیدی قوی واکنش هیدروکراینگ را پیش می برد [۸]. مطالعات نشان می دهد که در مرحله احیاء کاتالیست، رنیوم فلزی به همراه فلز پلاتین تشکیل کریستال های کوچکی به نام "کلاستر" یا "ان سمبل" می دهد. به دلیل تولید هیدروکربن های سبک و کاهش محصول مایع می توان نتیجه گرفت که کلاسترها شکل گرفته با سایز کوچک دارای فعالیت بالایی برای واکنش هیدروژنولیز می باشند. به همین دلیل باید به منظور کنترل فعالیت اولیه کاتالیست قبل از آغاز فعالیت، کاتالیست پیش گوگردزنی شود [۴]. در سال های اخیر دانشمندان اقدام به انجام مطالعاتی در زمینه استفاده از کاتالیست های سه فلزی به منظور افزایش کارایی هرچه بیشتر کاتالیست های فرایند تبدیل کاتالیستی نموده اند. مزیت استفاده از کاتالیست های سه فلزی بر کاتالیست های دو فلزی پلاتین- رنیوم سرعت کک گرفتگی پایین و مقاومت بالا در مقابل غیرفعال سازی است [۸، ۶]. به عنوان مثال ژرمانیم در کاتالیست های سه فلزی تعداد مکان های اسیدی متوسط و ضعیف را افزایش داده و تعداد مکان های اسیدی قوی را کاهش می دهد [۹]. بررسی های انجام شده نشان می دهد که در نتیجه پراکندگی پایین فلز قلع در کاتالیست های سه فلزی، این فلز قادر به تغییر اسیدیتیه کل نبوده اما توزیع اسیدیتیه را به سمت مکان های اسیدی متوسط هپتان استفاده شده است، مشخص شد که کاتالیست سه فلزی Pt-Re-Sn با ۰/۶ درصد وزنی قلع مشابه کاتالیست دو فلزی پلاتین- رنیوم سولفیده شده عمل کرده و نسبت آروماتیک ها به ایزوپارافین ها در محصول بدست آمده برای هردو کاتالیست یکسان است [۴].

در این مقاله کاتالیست های سه فلزی پلاتین- رنیوم- قلع (Pt-Re-Sn/ γ -Al₂O₃) با درصد های متفاوتی از قلع تهیه شده و به همراه کاتالیست تجاری با خوراک صنعتی، تحت شرایط عملیاتی مشابه با فرایند تبدیل کاتالیستی پالایشگاه های ایران در پایلوت راکتوری پژوهشکده کاتالیست و نانوفناوری- پژوهشگاه صنعت نفت مورد آزمایش قرار گرفته و گزینش پذیری تولید ایزوپارافینها نسبت به آروماتیک ها برای کاتالیست های تهیه شده بررسی شده است.

۲- ساخت کاتالیست و بررسی های فیزیکی- شیمیایی:

برای ساخت کاتالیست ها، ابتدا محلول آبی نمک های پلاتین- رنیوم و قلع (H₂PtCl₆.6H₂O, NH₄ReO₄, SnCl₂.2H₂O) را با غلظت های معلوم به طور جداگانه تهیه نموده و با توجه به درصد وزنی فلزی که روی پایه می خواهد قرار گیرد حجم مشخص از این محلول استاندارد را روی مقدار مشخصی از پایه تجاری که مشخصات آن در جدول ۱ آمده است ریخته، بطوری که تمام پایه در محلول غوطه ور شود. فرایند تلقیح در دمای ۵۵ درجه سانتی گراد، فشار محیط و در مدت زمان دو ساعت کامل گشته که پس از این عملیات پایه و فلزات نشسته شده بر روی آن را در یک آون قرار داده تا پایه کاملاً خشک شده و لایه نازکی از نمک فلز روی پایه بتشیند. پس از این مرحله، عملیات کلسیناسیون با عبور هوا و افزایش تدریجی دما تا

۵۰۰ درجه سانتی گراد انجام می شود که نمک موجود بر روی پایه را اکسید و باعث ثبیت و فعال نمودن فلز روی پایه می گردد. در این پروژه، عملیات تلقیح در دو مرحله بر روی پایه کاتالیست انجام شده است. ابتدا فلز قلع بروی پایه نشانده شد که پس از خشک کردن و کلسیناسیون، فلزات پلاتین و رنیوم را بر روی آن تلقیح و مراحل کلسیناسیون و احیاء دوباره انجام گرفت. مقادیر پلاتین و رنیوم برای همه کاتالیست ها یکسان و به ترتیب برابر با ۰/۲۲ و ۰/۴۴ درصد وزنی و مقدار فلز قلع در آنها شامل ۰/۳، ۰/۲، ۰/۱ و ۰/۰۶ درصد وزنی می باشد. پس از عملیات تلقیح فلزات بر روی پایه، به منظور تعیین خواص فیزیکی و مشخص نمودن درصد وزنی فلزات، کاتالیست های تهیه شده تحت آنالیزهای فیزیکی-شیمیایی قرار گرفتند.

جدول ۱. مشخصات پایه گاما آلومینا

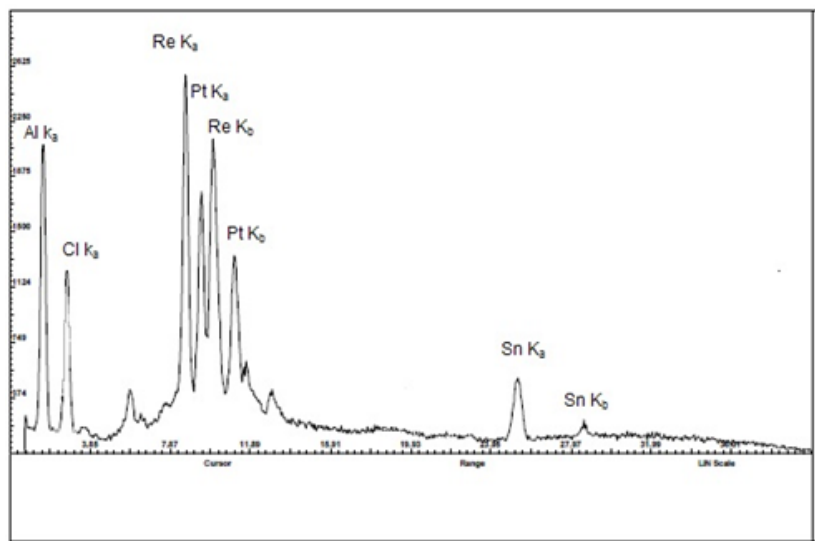
خصوصیت	واحد	مقدار
مساحت سطح	متر مربع بر گرم	۲۱۱
حجم منافذ	سانتی متر مربع بر گرم	۰/۷۵
دانسیته ظاهری	گرم بر میلی لیتر	۰/۵۵

آزمایش XRF به منظور تعیین عناصر موجود در کاتالیست انجام گرفت، که نتیجه آن در شکل ۱ آمده است. به منظور آنالیز ذرات پلاتین و مقایسه نمونه ساخته شده با نمونه تجاری از نظر اندازه ذرات پلاتین، آزمایش TEM^۷ انجام گرفت که نتیجه آن در شکل های ۲ و ۳ نشان داده شده است. آزمایش احیاء با برنامه ریزی دمایی (TPR)^۸ با هدف تعیین بازه دمایی که در آن کاتالیست احیا می گردد، انجام شد. این آزمایش در دستگاه Micromeritics TPR 2900 انجام گرفت. مقدار سایتها اسیدی سطح کاتالیست به کمک روش واجذب با برنامه ریزی دمایی (TPD)^۹ قابل اندازه گیری است. به همین منظور به کمک دستگاه TPD 2900 Micromeritics اسیدیته سطح کاتالیست اندازه گیری شد. تعیین مقدار فلزات پلاتین و رنیوم به کمک روش ICP^{۱۰}، مقدار فلز قلع به کمک روش طیف سنجی جذب اتمی (AAS)^{۱۱} و مقدار کلر موجود به کمک روش نقره سنجی انجام گردید که نتایج آن در جدول ۲ برای کاتالیست های ساخته شده، ارائه شده است.

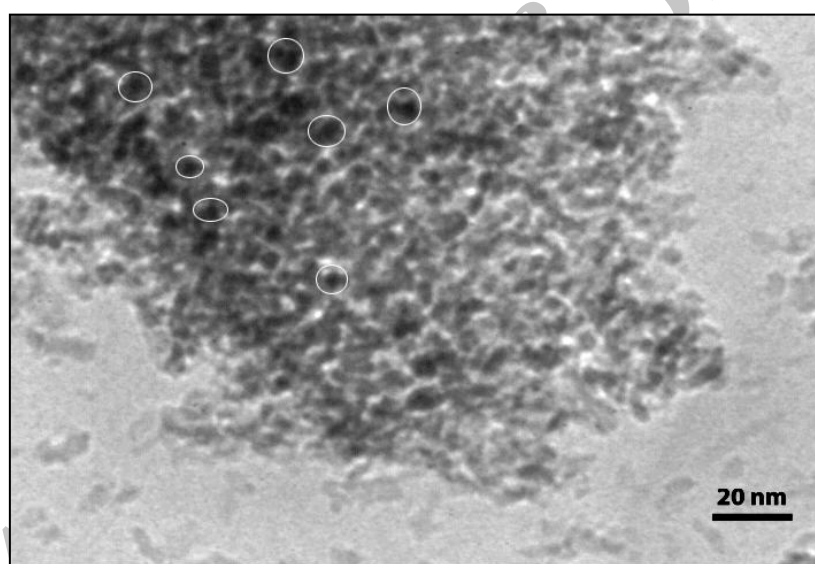
جدول ۲. نتایج آنالیز عنصری و درصد وزنی آن ها در کاتالیست های ساخته شده

عناصر	۰/۰۶Sn	۰/۲Sn	۰/۱Sn	۰/۰۲Sn	۰/۰۰۶Sn
پلاتین	۰/۲۲	۰/۲۲	۰/۲۲	۰/۲۲	۰/۲۲
رنیوم	۰/۴۴	۰/۴۴	۰/۴۴	۰/۴۴	۰/۴۴
قلع	۰/۳	۰/۲	۰/۱	۰/۱	۰/۰۶
کلر	۰/۹-۱/۳	۰/۹-۱/۳	۰/۹-۱/۳	۰/۹-۱/۳	۰/۹-۱/۳

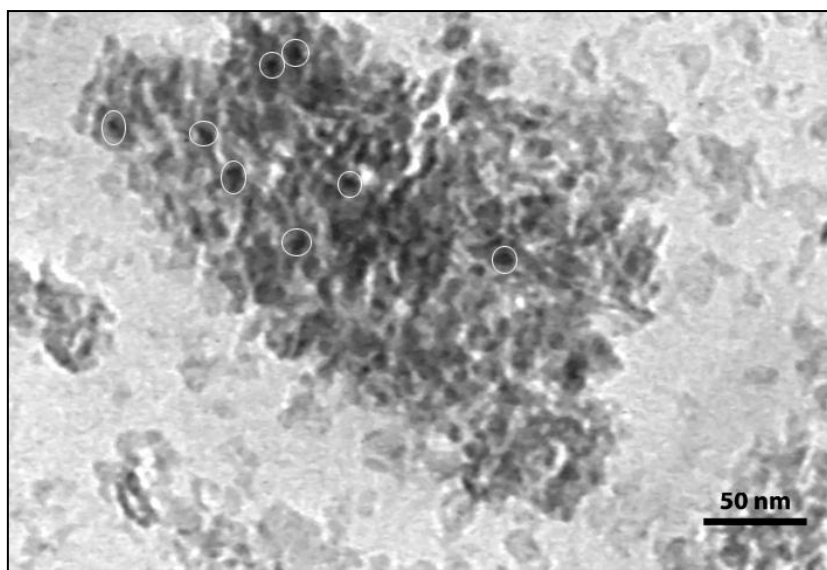
⁷Transmission Electron Microscopy⁸Temperature Programmed Reduction⁹Temperature Programmed Pyridine Desorption¹⁰Inductively coupled plasma¹¹Atomic Absorption Spectroscopy



شکل ۱. آنالیز XRF برای نمونه ساخته شده



شکل ۲. آنالیز TEM برای نمونه ساخته شده



شکل ۳. آزمایش TEM برای نمونه تجاری

ذرات پلاتین در تصاویر TEM موجود در شکل های ۲ و ۳ به صورت لکه های سیاه رنگی که دور تعدادی از آن ها خط کشیده شده است، مشخص می باشند. به منظور مقایسه میانگین اندازه ذرات، تعدادی از ذرات به صورت اتفاقی انتخاب شدند. نتایج این بررسی در جدول ۳ آمده است. نتایج نشان می دهد که اندازه ذرات در هر دو نمونه تقریبا مشابه همدیگر می باشد.

جدول ۳. اندازه ذرات پلاتین

کد نمونه	میانگین اندازه ذره (نانو متر)
نمونه کاتالیست ساخته شده	۷nm
کاتالیست تجاری	۶-۷nm

آنالیز ASAP ۱۲ با هدف اندازه گیری مشخصات فیزیکی کاتالیست مانند سطح، حجم منافذ و میانگین قطر حفرات برای کاتالیست های ساخته شده و کاتالیست تجاری (RG) انجام گرفت که نتایج آن در جدول ۴ ارائه شده است.

جدول ۴. نتایج آزمایش ASAP

نام کاتالیست	مساحت سطح (m ² /g)	حجم منافذ (cm ³ /g)	میانگین قطر حفرات (A°)
Pt-Re-(0.3)Sn/Al ₂ O ₃	۱۸۸	۰/۴۲	۹۰
Pt-Re-(0.2)Sn/Al ₂ O ₃	۱۹۰	۰/۴۹	۱۰۵
Pt-Re-(0.1)Sn/Al ₂ O ₃	۱۹۴	۰/۵۵	۱۱۳
Pt-Re-(0.06)Sn/Al ₂ O ₃	۱۹۷	۰/۵۸	۱۱۵
کاتالیست تجاری (RG)	۱۹۸	۰/۴	۹۰

۳- تست راکتوری:

با استفاده از سیستم راکتوری موجود در پژوهشکده کاتالیست و نانو فناوری-پژوهشگاه صنعت نفت، تحت شرایطی مشابه با واحدهای تبدیل کاتالیستی پالایشگاه های کشور ($n\text{ H}_2 / n\text{ H.C.} = 5 \text{ mol / mol}$, $LHSV = 2 \text{ hr}^{-1}$, $P=25 \text{ bar}$)

¹²Advanced Systems Analysis Program

و با استفاده از خوارک صنعتی نفتا^{۱۳} تست فعالیت انجام گرفت. این سیستم شامل یک راکتور لوله ای^{۱۴} بستر ثابت بوده که قسمت بالایی راکتور از کوارتز خرد شده پر و به عنوان منطقه پیش گرمکن ورودی در نظر گرفته می‌شود. در ضمن راکتور مجهز به ترموموپلی است که با استفاده از آن دمای وسط بستر کاتالیست کنترل می‌گردد. با استفاده از یک میکروپیمپ، خوارک هیدروکربنی مایع به همراه هیدروژن وارد راکتور می‌شوند. در هنگام تست راکتوری، مقدار هیدروژن ورودی به راکتور به کمک یک جریان سنج جرمی^{۱۵} کنترل می‌شود. جریان خروجی از راکتور، از جدا کننده فشار بالا و فشار پایین عبور کرده که جریان گاز خروجی از جدا کننده خارج و جریان مایع خروجی از جدا کننده به وسیله کروماتوگرافی گازی آنالیز می‌شود. نتایج آنالیز محصول مایع در جدول ۵ ارائه شده است.

جدول ۵ درصد وزنی آромاتیک و ایزوپارافین تولیدی برای کاتالیست‌ها در دماهای مختلف

کاتالیست‌های ساخته شده	درصد وزنی آراماتیک‌های تولید شده			
	۴۹۰°C	۵۱۰°C	۴۹۰°C	۵۱۰°C
Pt-Re -(0.3)Sn/ γ -Al ₂ O ₃	۱۰/۲	۲/۴	۲۵/۸	۵۴/۸
Pt-Re -(0.2)Sn/ γ -Al ₂ O ₃	۲/۸	۲/۲	۵۷/۵	۶۱/۷
Pt-Re (0.1)Sn/ γ -Al ₂ O ₃	۲/۳	۱/۸	۶۱	۶۶/۱
Pt-Re -(0.06)Sn/ γ -Al ₂ O ₃	۱/۹	۱	۵۲/۱	۶۰/۸
کاتالیست تجاری (RG)	۱۰/۲	۶/۳	۳۴/۴	۴۷/۶

۴- بحث و نتیجه گیری:

احتراق آراماتیک‌ها منجر به تشکیل ترکیباتی از قبیل آلدهیدها، بوتا دی ان، و هیدروکربن‌های آراماتیک چندحلقه‌ای می‌شود که اثرات زیان باری بر سلامت انسان خواهد داشت. ترکیبات آراماتیک بتنزین مطابق استانداردهای جهانی باید در حداقل ممکن درنظر گرفته شود زیرا مه دود و بخارات ناشی از احتراق ترکیباتی مانند بنزن و تولوئن در بنزین، سمی و خطر جدی برای محیط زیست محسوب می‌گردد^[۱۰]. بنابراین افزایش ایزوپارافین‌ها و کاهش ترکیبات آراماتیکی در بنزین از اهمیت ویژه‌ای برخوردار می‌باشد. بدین منظور استفاده از کاتالیست سه فلزی Pt-Re-Sn/ γ -Al₂O₃ با هدف کاهش آراماتیک‌ها و افزایش ایزوپارافین‌ها پیشنهاد می‌شود. در این مقاله با توجه به اهمیت تولید ایزوپارافین در فرایند تبدیل کاتالیستی، میزان گزینش پذیری تولید ایزوپارافین‌ها نسبت به آراماتیک‌ها برای کاتالیست‌های ساخته شده و تجاری، مطابق فرمول زیر مورد بررسی قرار گرفت.

$$\frac{\text{مقدار ایزوپارافین تولید شده}}{\text{مقدار آراماتیک تولید شده}} \times 100 = \frac{\text{درصد گزینش پذیری}}{\text{مقدار آراماتیک تولید شده}}$$

نتایج گزینش پذیری تولید ایزو پارافین نسبت به آراماتیک در جدول ۶ ارائه شده است.

¹³Heavy Straight Run of Gasoline

¹⁴Plug Reactor

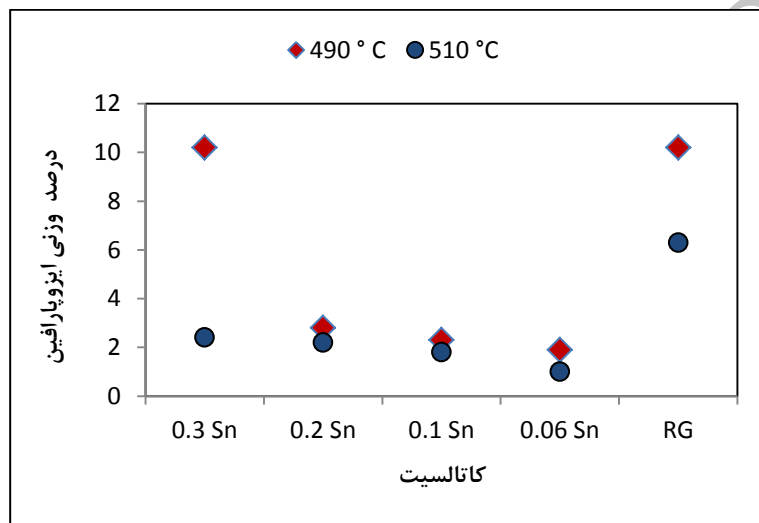
¹⁵Mass Flowmeter

جدول ۶ درصد گزینش پذیری کاتالیست‌ها در تولید ایزوپارافین نسبت به تولید آروماتیک در دو دمای مختلف

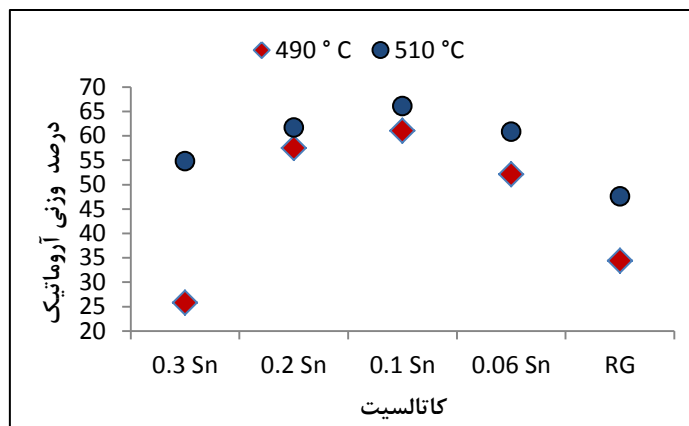
کاتالیست ساخته شده و تجاری	۴۹۰ °C	۵۱۰ °C
Pt-Re-Sn(0.3)/ γ -Al ₂ O ₃	۳۹/۵	۴/۴
Pt-Re-Sn(0.2)/ γ -Al ₂ O ₃	۴/۹	۳/۶
Pt-Re-Sn(0.1)/ γ -Al ₂ O ₃	۳/۸	۲/۷
Pt-Re-Sn(0.06)/ γ -Al ₂ O ₃	۳/۶	۱/۶
کاتالیست تجاری (RG)	۲۹/۷	۱۳/۲

مقایسه درصد وزنی ایزوپارافین‌ها و آروماتیک‌های تولید شده در دو دمای ۴۹۰ و ۵۱۰ درجه سانتی‌گراد برای

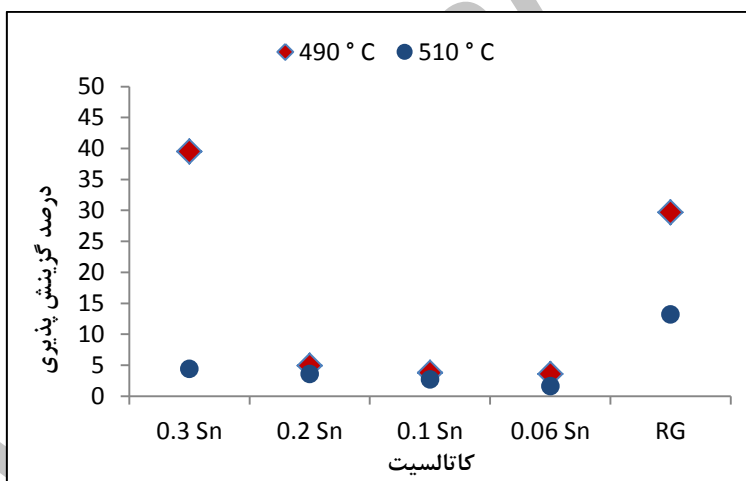
کاتالیست‌های ساخته شده و کاتالیست تجاری در ۴۰۵ نشان داده است.



شکل ۶ درصد وزنی ایزوپارافین‌های تولید شده در دو دمای مختلف برای کاتالیست‌های ساخته شده و تجاری با توجه به شکل ۴ می‌توان پی برد که با افزایش مقدار قلع میزان تولید ایزوپارافین‌ها افزایش می‌یابد. بررسی‌ها نشان داده است که افزایش قلع باعث تغییر توزیع اسیدیته و افزایش جمعیت نسبی سایت‌های اسیدی متوسط و افزایش واکنش ایزومریزاسیون می‌شود. بررسی نتایج تست‌های راکتوری نشان می‌دهد که کاتالیست در دمای ۴۹۰ درجه سانتی‌گراد نسبت به دمای ۵۱۰ درجه سانتی‌گراد در تولید ایزوپارافین‌ها موفق‌تر عمل کرده است. با توجه به اینکه واکنش تولید آروماتیک یا به عبارتی واکنش دهیدروژناسیون نفت‌ها یک واکنش تعادلی گرم‌گیر است لذا با افزایش دما میزان تولید آروماتیک‌ها افزایش یافته که بالطبع باعث کاهش گزینش پذیری تولید ایزوپارافین‌ها نسبت به آروماتیک‌ها می‌گردد.



شکل ۵. میزان آروماتیک‌های تولید شده در دماهای مختلف برای کاتالیست‌های ساخته شده و تجاری با توجه به شکل ۵ می‌توان دریافت که با افزایش مقدار قلع در کاتالیست‌های ساخته شده، به دلیل افزایش جمعیت نسبی سایت‌های اسیدی متوسط میزان ایزوپارافین‌ها افزایش یافته و با توجه به ماهیت موازی بودن واکنش‌های تولید آروماتیک‌ها و ایزوپارافین‌ها، واکنش تولید آروماتیک‌ها کاهش یابد. مقایسه درصد گزینش پذیری تولید ایزوپارافین نسبت به تولید آروماتیک در دو دمای ۴۹۰ و ۵۱۰ درجه سانتی گراد برای کاتالیست‌های ساخته شده و کاتالیست تجاری در شکل ۶ نشان داده شده است.



شکل ۶ درصد گزینش پذیری تولید ایزوپارافین نسبت به تولید آروماتیک برای کاتالیست‌های ساخته شده و تجاری با توجه به شکل ۶ می‌توان نتیجه گرفت که با افزایش قلع میزان گزینش پذیری تولید ایزوپارافین نسبت به آروماتیک افزایش می‌یابد و همچنین دمای عملکرد پایین سبب افزایش این گزینش پذیری می‌گردد. برای کاتالیست تجاری نیز مشاهده می‌گردد که میزان گزینش پذیری تولید ایزوپارافین نسبت به آروماتیک در دمای ۴۹۰ درجه سانتی گراد بیشتر از دمای ۵۱۰ درجه سانتی گراد می‌باشد.

با مقایسه کاتالیست‌های ساخته شده و همچنین کاتالیست تجاری می‌توان کاتالیست سه فلزی با $0/3$ درصد وزنی قلع را کاتالیستی مناسب برای توزیع بهتر محصولات ایزوپارافین نسبت به آروماتیک در دمای ۴۹۰ درجه سانتی گراد دانست و جهت فرآیند تبدیل کاتالیستی پیشنهاد نمود.

- مراجع ۵

- [1] G. J. Antons and A. M. Aitani , *Catalytic Naphtha Reforming*, Second Edition, Marcel Dekker Inc., 2004
- [2] L. S. Carvalho, C. L. Pieck, M. C. Rangel, N. S. F'igoli, J. M. Grau, P. Reyes and J. M. Parera, *Applied Catalysis A: General*, **269** (2004) 91.
- [3] S. A. D'Ippolito, C. R. Vera, F. Epron, P. Samoila, C. Espezel, P. Marecot, L. B. Gutierrez and C. L. Pieck, *Applied Catalysis A: General*, **37**(2009) 34.
- [4] V. A. Mazzieri, J. M. Grau, C. R. Vera, J. C. Yori, J. M. Parera and C. L. Pieck, *Applied Catalysis A: General*, **296**(2005) 216.
- [5] L. S. Carvalho, C. L. Pieck, M. C. Rangel, N. S. F'igoli, C. R. Vera and J. M. Parera, *Applied Catalysis A: General*, **269**(2004) 105.
- [6] C. L. Pieck, C. R. Vera, J. M. Parera, G. N. Giménez, L. R. Serra, L. S. Carvalho and M. C. Rangel, *Catalysis Today*, **107**(2005) 637.
- [7] V. A. Mazzieri, J. M. Grau, J. C. Yori, C. R. Vera and C. L. Pieck, *Applied Catalysis A: General*, **354** (2009) 161.
- [8] V. A. Mazzieri, J. M. Grau, C. R. Vera, J. C. Yori, J. M. Parera and C. L. Pieck, *Catalysis Today*, **107**(2005) 643.
- [9] V. A. Mazzieri, C. L. Pieck, C. R. Vera and J. C. Yori, *Applied Catalysis*, **353**(2009) 353. p. 93-100.
- [10] G. Yasin, S. M Sibtain, R. Naqvi and F. Talpur, *Pak. J. Anal. Environ. Chem*, **9**(2008) 84.